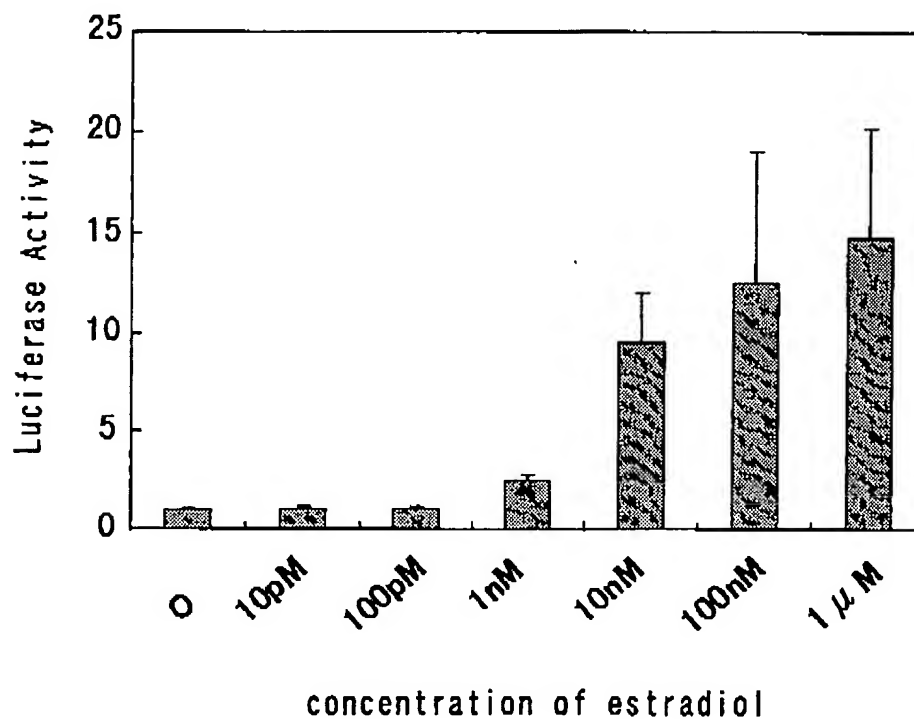


10,501227

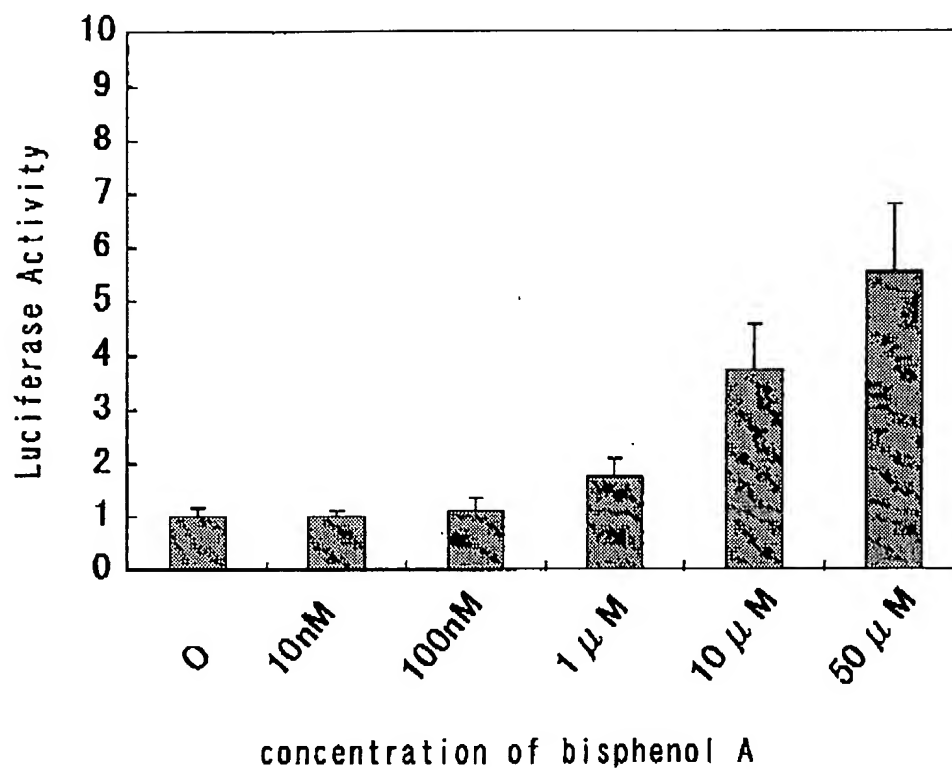
DRAWINGS

Fig. 1



10/501227

Fig. 2



10,501,227

Fig. 3

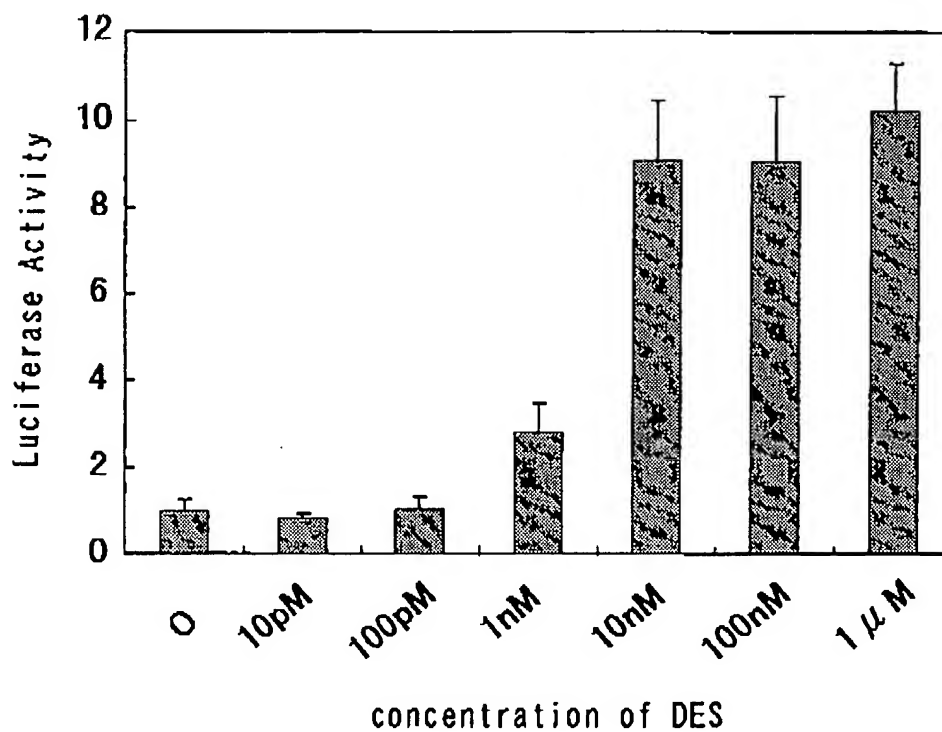
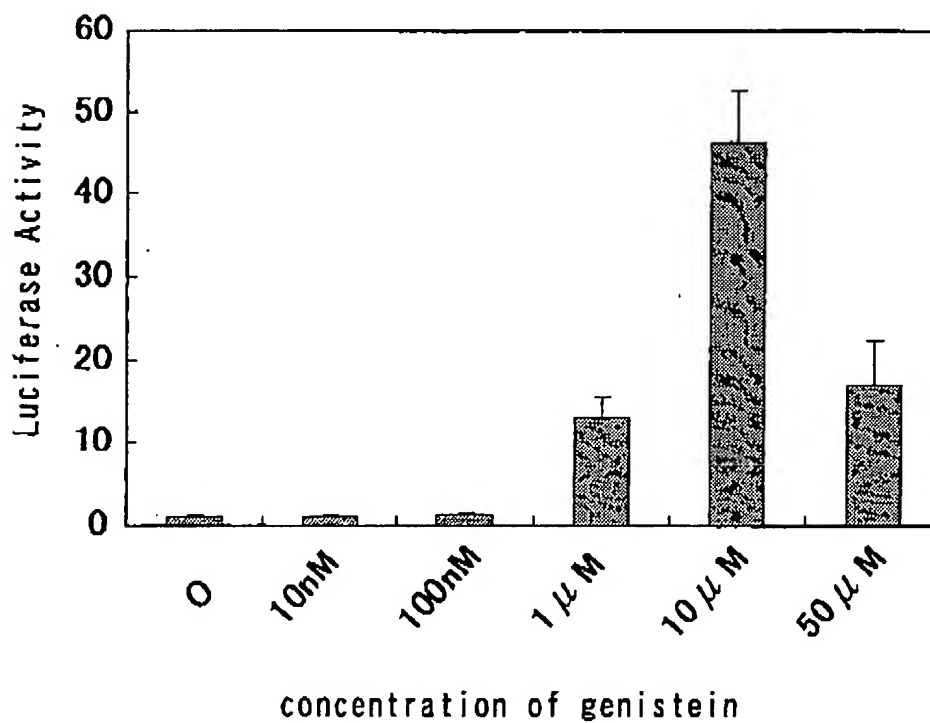


Fig. 4



10/501227

Fig. 5

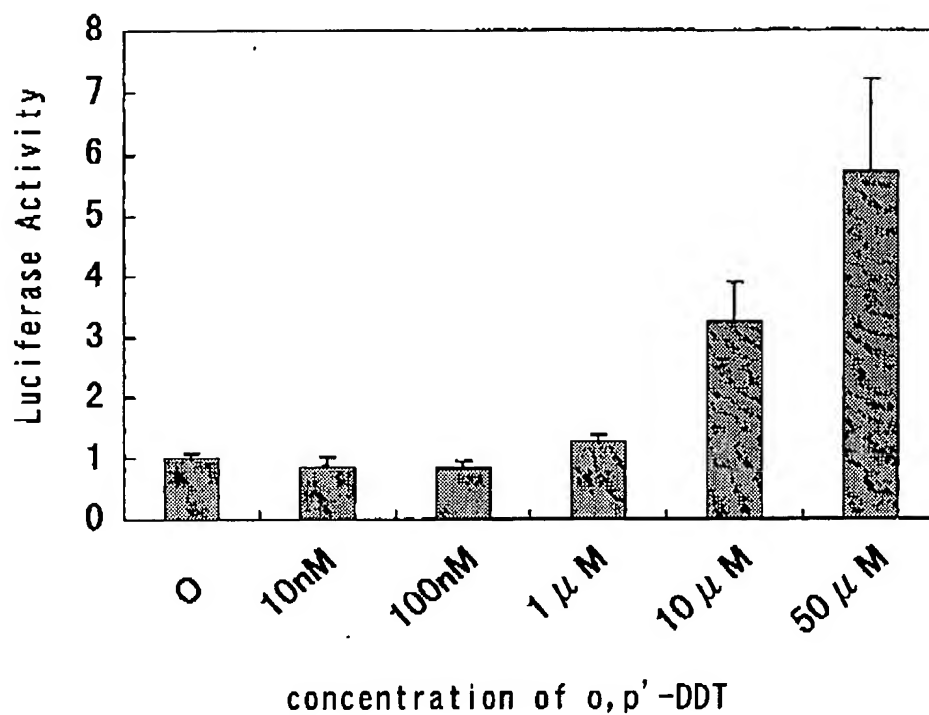
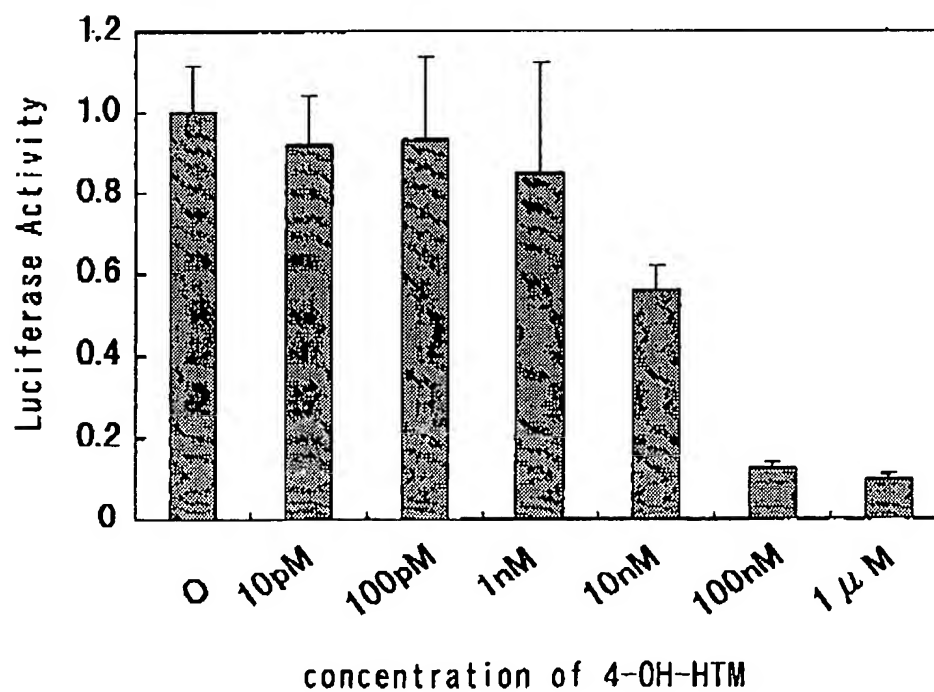


Fig. 6



10/501227

Fig. 7

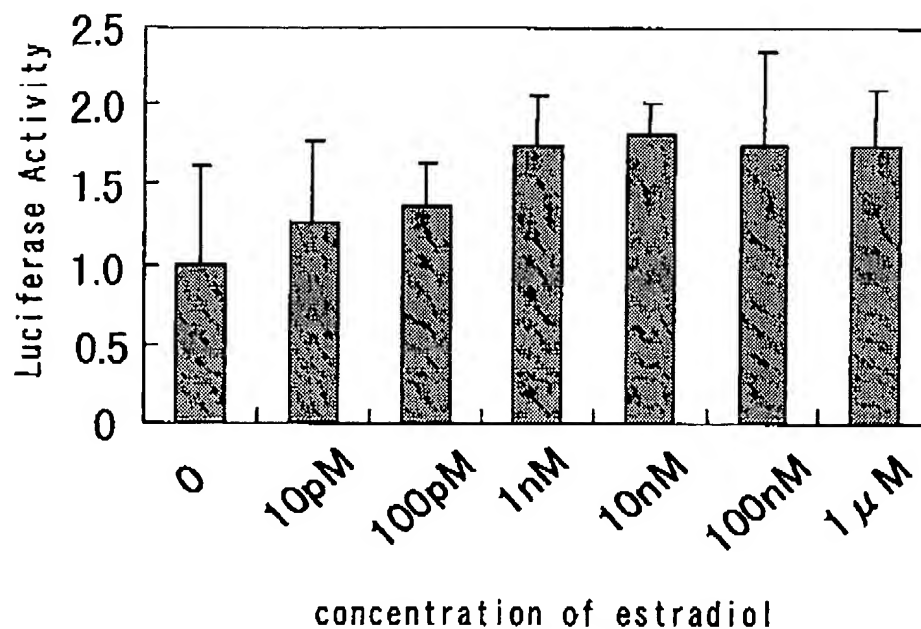
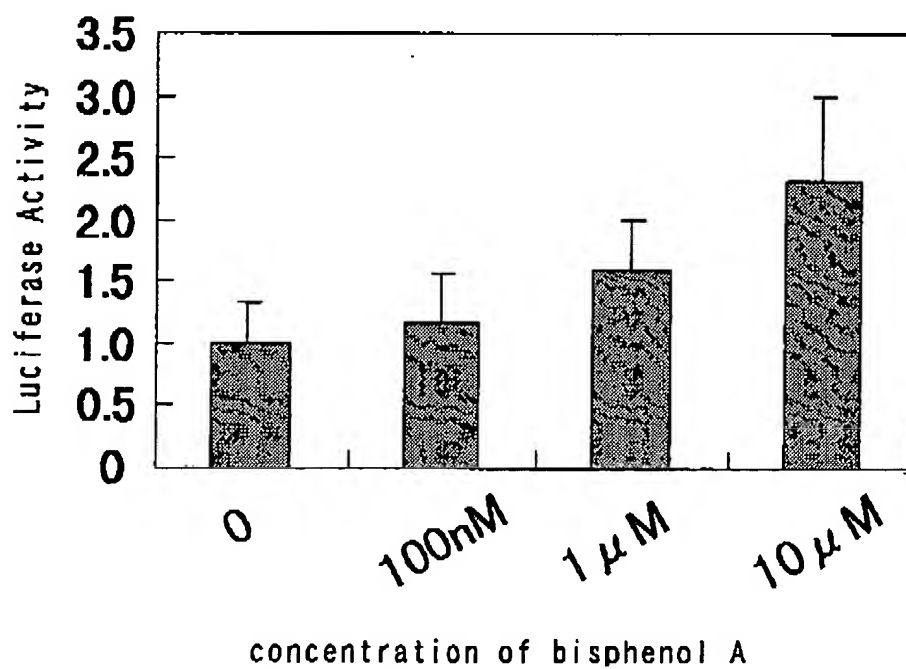


Fig. 8



10/501227

Fig. 9

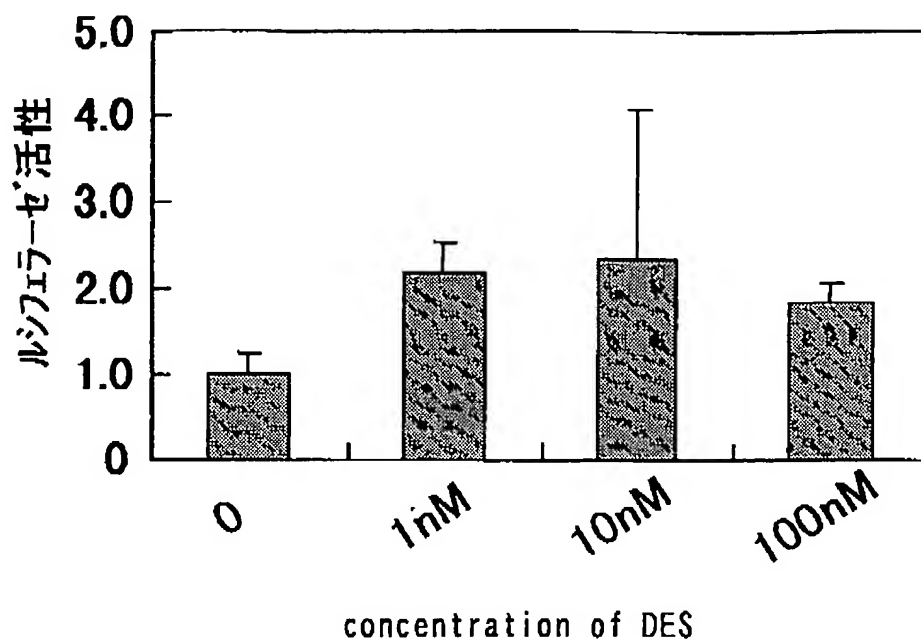
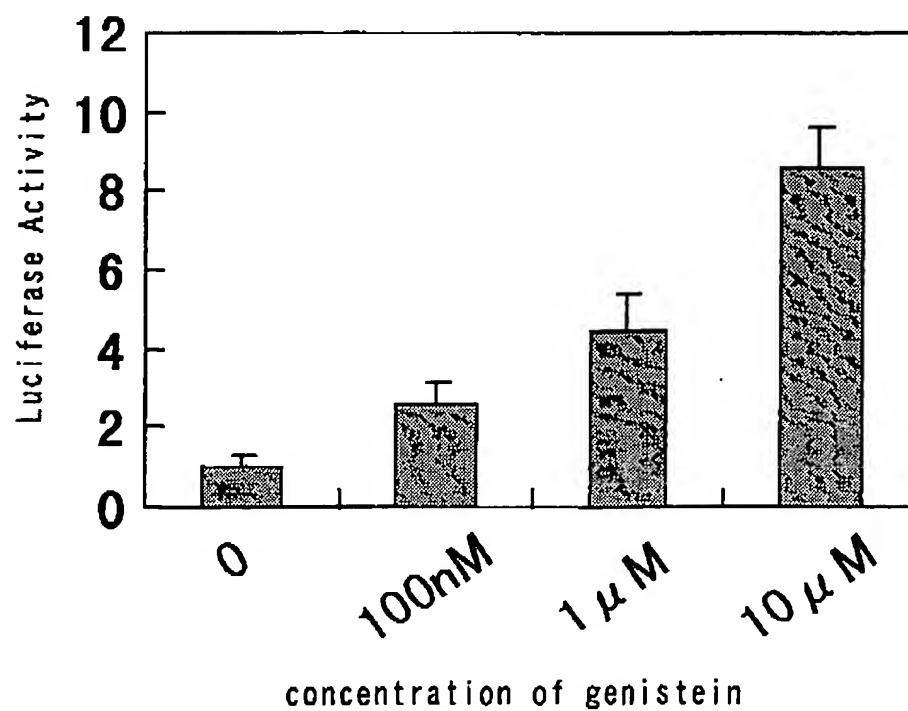


Fig. 10



10,501227

Fig. 1 1

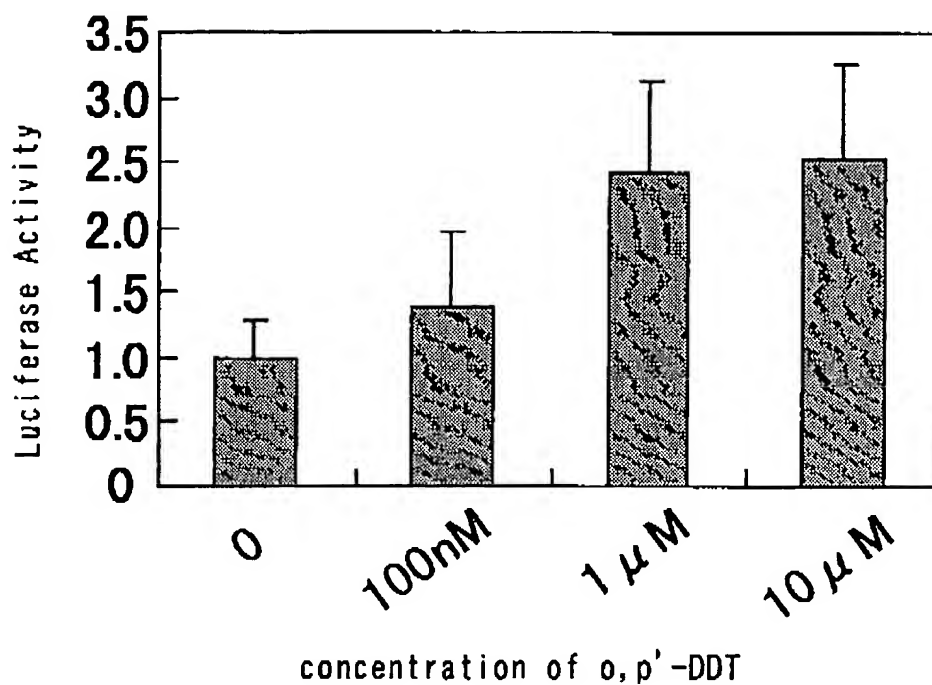
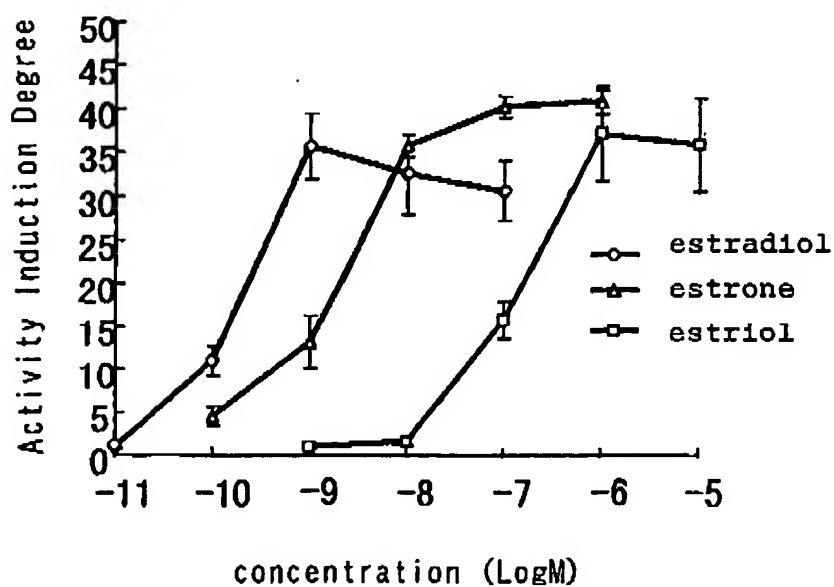


Fig. 1 2



10/501227

Fig. 1 3

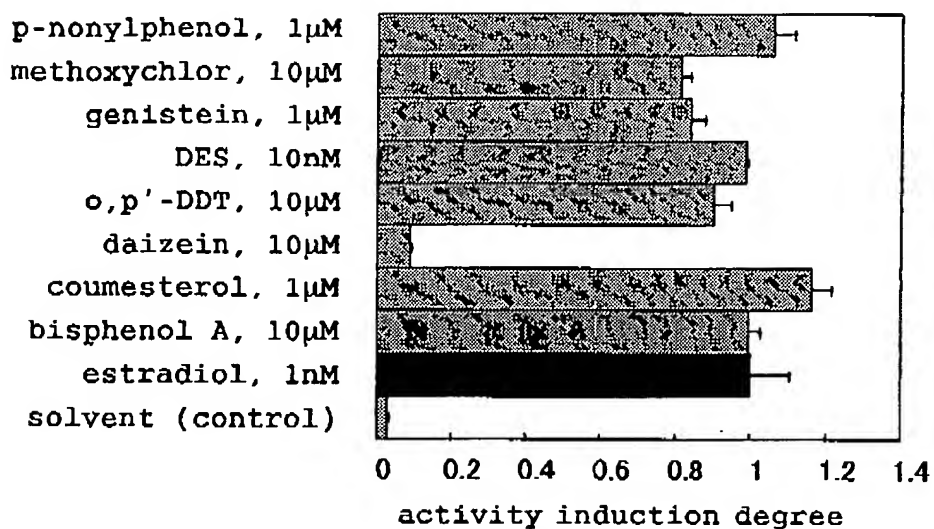
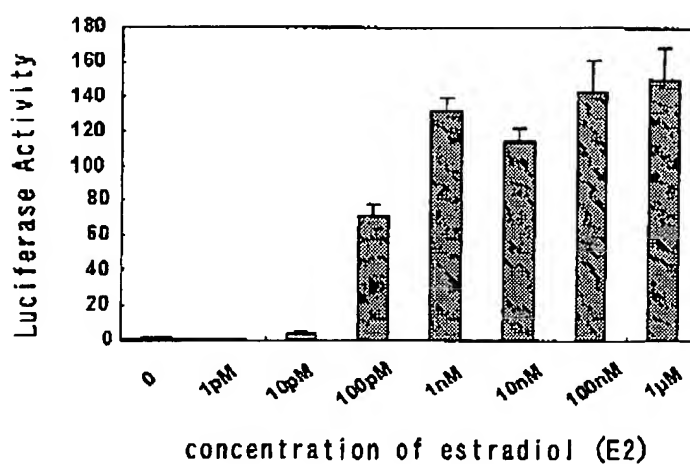


Fig. 1 4



10/501227

Fig. 1 5

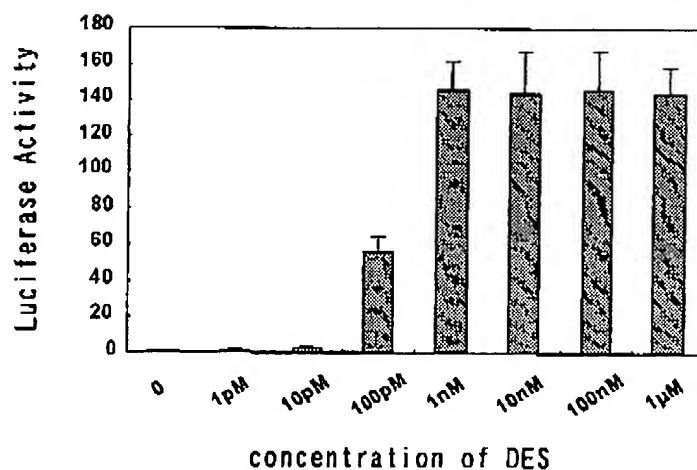
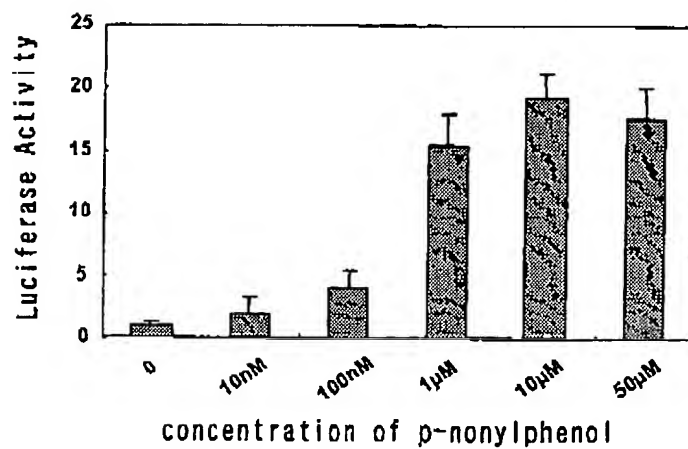


Fig. 1 6



10/501227

Fig. 1 7

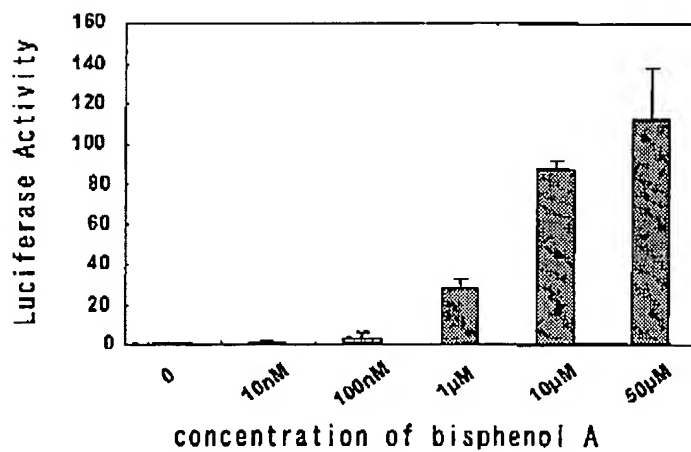
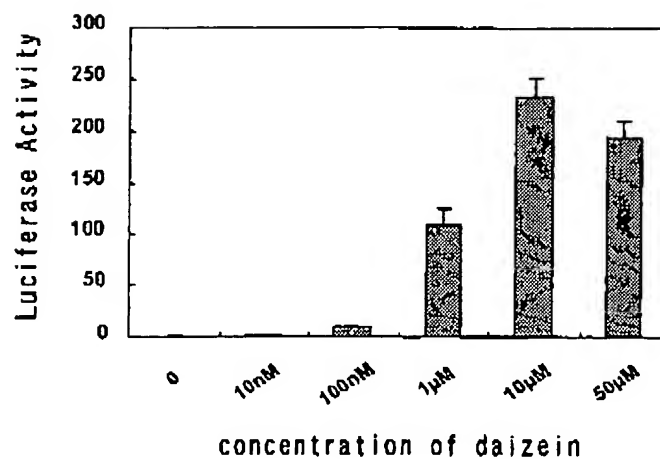


Fig. 1 8



10/501227

Fig. 1 9

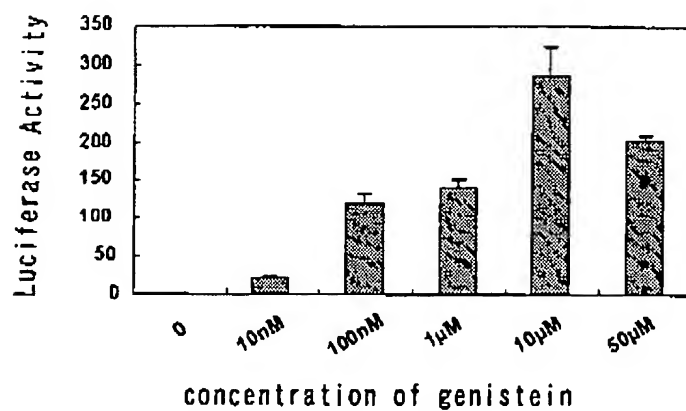
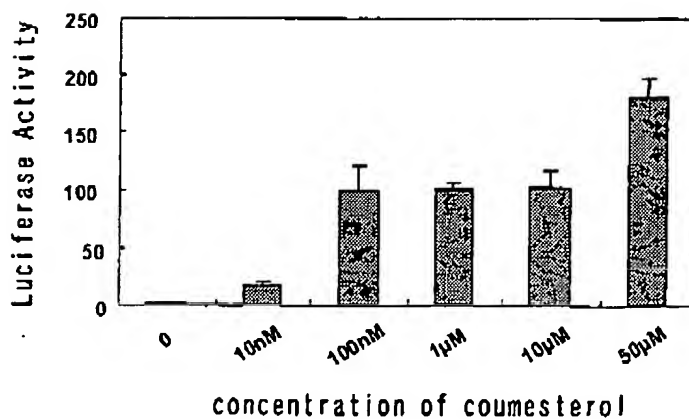


Fig. 2 0



10/501227

Fig. 2 1

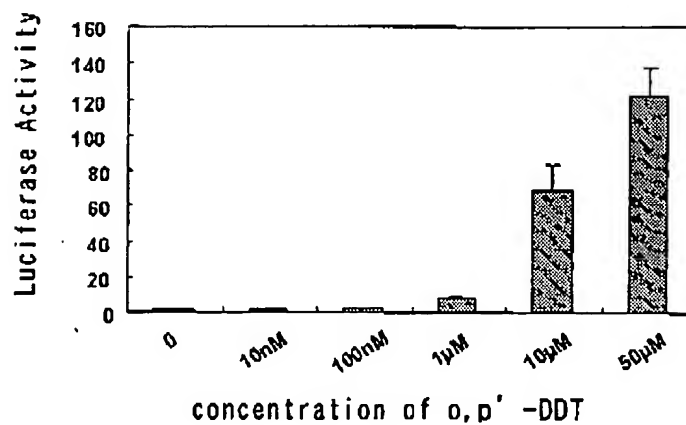
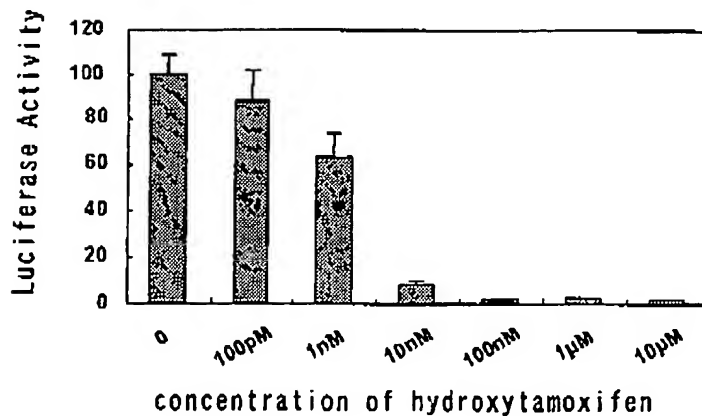


Fig. 2 2



10/501227

Fig. 2 3

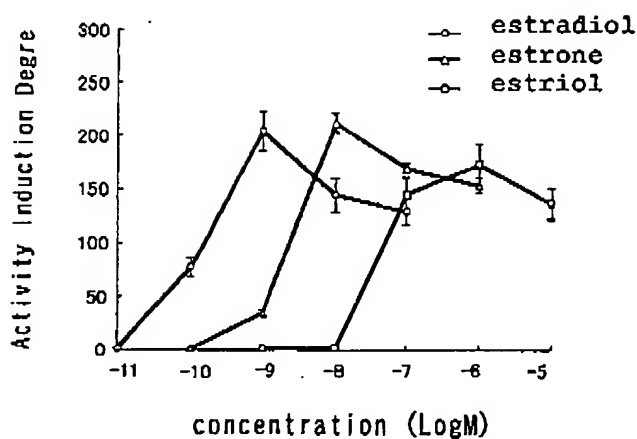


Fig. 2 4

